

汽轮机的凝汽设备

苏联B.П.勃留多夫著

电力工业出版社

高等学校教学用書

汽轮机的凝汽设备

苏联 B. П. 勃留多夫著

龔家彪 王守泰 陈来久 曹祖庆 王荣年 陈景堯譯

苏联高教部批准作为动力机械制造專業的教材

电力工业出版社

内 容 提 要

本書詳細探討汽輪机表面式凝汽器的熱力過程、凝汽器及其另件的構造；介紹主要另件的強度計算方法，以及凝汽器附屬機組的必備資料。此外本書還探討循環水泵、凝結水泵及空氣泵的構造及其運行，書中對空氣泵予以很大的注意，對射汽抽氣器的構造、工作原理及計算方法也予以研究。

在本書的最後部分中研究了凝汽器的變動工況，介紹了凝汽設備運行的一般資料，探討了凝汽設備的設計和運行諸問題。

本書所探討的凝汽設備以蘇聯製造的為主。在大多數章節中都附有大量的例題，因而對大學生們有很大的幫助。

本書可作為我國高等工業學校動力機械學及動力專業的教材。

Б. Н.
CONDENSATION BLODOS

Конденсационные Устройства Паровых турбин
Госэнергоиздат МОСКВА 1951

汽輪机的凝汽設備

根據蘇聯國立動力出版社 1951年莫斯科版翻譯

錢家彬 王守泰 陳來久 曹祖慶 王榮年 陳景堯譯

*

731R193

電力工業出版社出版(北京復興門外杜金路)

北京市書刊出版營業證號可證出字第082號

電力工業出版社印刷廠印刷 新華書店發行

787×1092 $\frac{1}{16}$ 開本 * 12印張 * 292千字 * 定價(第10類)1.50元

1958年2月北京第1版

1958年2月北京第1次印刷(0001—2,000冊)

原序

本書是按照“汽輪机的凝汽設備”這門課程的教學大綱編寫的，該教學大綱經苏联高等教育部高等工業学校管理司批准，并适用于动力学院和动力系的“汽輪机制造”專業。

現在，這門課程的情況是這樣的：雖然由於對汽輪機內的过程已有深入的了解、對汽輪機各部件和各零件的工作已有正確的概念，以及由於把空氣氣體動力學、彈性理論和其他知識領域中的近代成就運用到設計中去，以致在汽輪機製造的領域中和在設計和計算完善的汽機方面已經有了很大的成就；但在凝汽器製造的領域中，改進早先擬定的設計和計算凝汽設備的方法的工作，在長時期中就進行的極為緩慢。由於這種情況因而在實際工作中還存在着一種不精確的、有時簡直是錯誤的有關凝汽設備工作的見解。在很多情況下這些來自國外的見解就毫無批判地滲入到我國的有關資料中。但是在最近幾年內，由於蘇聯學者和技術人員在凝汽設備工作過程的研究方面，及其設計和運行的合理方法的探討方面進行了巨大工作，因而發現了這些見解的缺陷和錯誤。蘇聯科學的成就已使我們對這個技術部門所掌握的知識已大大的擴大和深入了一步，同時已使我們能擬定改善現有的及新設計的凝汽設備工作的方法。

在這一方面不能不指出在批判根深蒂固的有關凝汽設備工作的見解和樹立新觀點方面所進行的積極活動，這些活動開始於捷爾仁斯基至蘇熱工研究所開始目前還在勝利地進行着。在寫這本書時我廣泛地利用了這個研究所的工作人員，如技術科學博士Л.Д.別爾曼、工程師Г.А.穆林、技術科學副博士И.К.葛里舒克三位同志的極有價值的研究成果。我也廣泛地利用了С.С.古達節拉捷在波爾宗諾夫中央鍋

爐汽輪機研究所中對蒸汽凝結時的傳熱方面所得到的巨大成績。此外，本書在某種程度上也介紹了工廠設計部門的工作，特別是列寧格勒斯大林金屬工廠以及其他機關（電站部技術改進局、熱電廠設計院）。

在發展凝汽設備的理論和實踐方面，雖然已有了一定的成績，但是還有很多問題仍舊沒有人研究。在這些問題中就有：估計漏入凝汽器的空氣對蒸汽空氣混合物向管壁放熱的影響問題。

在計算凝汽器冷卻面時，為了要正確地考慮到這個因素，現有的實驗數據是完全不夠的。工程師С.Н.富克斯最近在全蘇熱工研究所所完成的副博士論文“帶有空氣的蒸汽在水平管子上凝結時的放熱”中，對於蒸汽空氣混合物在單根水平管子上凝結時的放熱系數確定了一系列新的實驗關係，但是對於實際設計來說，這些新的數據仍然是不夠的。

因為還缺乏估計空氣對放熱系數（自蒸汽至管壁）所生影響的可靠數據，所以暫時還不可能根據蒸汽空氣混合物向抽氣口流動的過程中局部傳熱系數的改變來進行凝汽器冷卻面的嚴密計算。因此，截至目前為止，實際上還是根據工業用凝汽器試驗時所得到的實驗數據來估計總的平均傳熱系數（凝汽器的全部冷卻面的平均值），然後再計算凝汽器的冷卻面。

由於上述情況，因而在敘述表面式凝汽器理論時在邏輯結構上出現了某些不協調現象，因為在足夠詳細地探討了蒸汽在凝汽器冷卻面每一部分的傳熱問題之後，我們還是不得不介紹僅根據總平均傳熱系數而得的試驗數據來決定凝汽器的冷卻面。但是，為了達到教學目的，我們認為在本課程中有必要對凝汽器中的傳熱理論尽可能作完整的說明，這些說明同時也是

为了对汽輪机凝汽器的热力計算問題作进一步研究打好基础。因此，本書中所述的凝汽器試算方法應該看作是：与其說被實踐證明是有效的，不如說在教學法的理由上被證明是有效的。

除了尽可能完滿地探討表面式凝汽器的理論之外，本書对射汽抽气器也給予很大的重視。根据現代的概念，在凝汽器本身的工作和抽气器的工作之間存在着緊密的联系。所以凝汽器本身的工作实质上有賴于抽气器的工作，由此可見，正确了解抽气器的过程（特別在抽气器工况改变下），对凝汽设备的設計和运行甚为重要。但在这里对抽气器理論和实际方面的某些原則性問題也还没有充分討論。在这些問題中就有：关于用工作蒸汽流来抽除蒸汽空气混合物的作用原理的确切概念、抽气器設計工况的决定等等。

苏联学者、設計師和运行人員的卓絕工作，

無疑地在最近將会解决上述許多問題。但是在目前尚未解决的情况下，本書还不可能得到所期望的完滿性和严整性。虽然如此，也可以相信本書采取这样的叙述方式無論对于学生或工厂工作人員都是有用的。

在编写本書时，我得到了莫斯科莫洛托夫动力学院热机教研組教師的集体帮助，我感謝 A. B. 雪格略耶夫教授、技术科学副博士 Г. И. 苏沃洛夫以及 H. K. 保达施柯夫副教授对我原稿中个别章节所提出的宝贵意見。我要特別感謝 H. Г. 莫洛卓夫副教授，他曾非常仔細地看过原稿，并曾提出了許多有益的意見。

最后还應該指出本書編輯 Л. И. 戈登副教授的帮助，戈登副教授对原稿中的个别地方作了更明确的說明。

B. 勃留多夫

目 录

原序

第一章 緒論	4
1-1. 汽輪設備中蒸汽終壓的數值	4
1-2. 凝汽設備的任務及其主要部件	5
1-3. 凝汽器中真空的形成以及絕對壓力的數值	6
1-4. 凝汽器中的壓力對於汽輪機所發出功率的影響	9
1-5. 凝汽器中真空的測量	11
1-6. 凝汽器的類型	12
第二章 表面式凝汽器的理論和計算	16
2-1. 表面式凝汽器的裝置和工作	16
2-2. 進入凝汽器的空氣量	18
2-3. 蒸汽空氣混合物及分壓力的分配	21
2-4. 蒸汽凝結過程的原理	23
2-5. 凝結的方式	25
2-6. 蒸汽凝結時的熱交換	26
2-7. 從蒸汽到管壁的放熱	28
2-8. 各別因數對於蒸汽向壁面放熱的影響	36
2-9. 蒸汽中的空氣對於蒸汽向壁面放熱的影響	39
2-10. 通過凝汽器管壁的傳熱	45
2-11. 從管壁到冷卻水的放熱系數	46
2-12. 傳熱系數	47
2-13. 凝汽器中蒸汽冷卻水的溫度及其平均溫差	54
2-14. 冷卻水管的直徑、長度及數目	57
2-15. 管子在凝汽器中的排列	59
2-16. 冷卻水的流程數目	61
2-17. 凝汽器的汽阻	63
2-18. 凝汽器的水阻	67
2-19. 凝汽器的熱力計算	69
第三章 凝汽器的構造	74
3-1. 汽流向下式凝汽器	74
3-2. 汽流向側式凝汽器	75
3-3. 汽流向心式凝汽器	81
3-4. 汽流向上式凝汽器	84
3-5. 管簇的合理形式	86
第四章 凝汽器的零件和強度計算	88
4-1. 凝汽器的管子	88
4-2. 管板和縱向連接	97

4-3. 凝汽器的外殼	101
4-4. 水室和端蓋	103
4-5. 凝汽器與汽輪機的連接以及在基礎上的安裝	104
4-6. 大氣排出閥	105
第五章 空氣泵	107
5-1. 空氣泵的種類	107
5-2. 射汽抽氣器的裝置和工作	110
5-3. 計算射汽抽氣器一級的理論基礎	112
5-4. 射汽抽氣器計算例題	128
5-5. 抽氣器冷卻器的計算	133
5-6. 抽氣器的特性	134
5-7. 抽氣器在變動工況下的工作	135
5-8. 射汽抽氣器的構造	138
第六章 循環水泵和凝結水泵	145
6-1. 循環水泵的類型、裝置和拖動	145
6-2. 選擇循環水泵所需數據的確定	148
6-3. 循環水泵的構造和特性	151
6-4. 循環水泵的調節和併列運行	155
6-5. 凝結水泵	156
第七章 凝汽器在變動工況下的工作	160
7-1. 改變主要因素對於凝汽器工作的影響	160
7-2. 改變抽出的空氣量對於凝汽器中壓力的影響	164
7-3. 凝汽器特性曲線的繪制	166
第八章 有關凝汽設備運行的一般知識	168
8-1. 凝汽設備在汽輪機起動、運行及停機時的維護	168
8-2. 凝汽設備工作中的監視	169
8-3. 凝汽器中真空下降的原因	171
8-4. 凝結水的過冷卻	173
第九章 凝汽設備在設計和運行中的經濟問題	175
9-1. 凝汽器中經濟上最有利的壓力	175
9-2. 確定凝汽器中最有利的冷卻倍率及最佳的冷卻水流速	176
9-3. 設備正在運行時確定凝汽器中最有利真空的工況	178
附錄	184
參考讀物目錄	190

第一章 緒論

1-1. 汽輪設備中蒸汽終壓的數值

提高汽輪設備的經濟性可以循兩方面來進行：一方面力求達到較高的循環熱效率，而另一方面則極力設法使組成汽輪設備各個機組的工作完善，首先是汽輪機本身，汽輪機通汽部分的工作完善。

在達到汽輪設備較高的循環熱效率的諸主要方法之中有這樣一些方法，如提高設備的初參數和降低終壓力。

在汽輪設備中採用高壓，譬如在 480°C 時 90 絕對大氣壓，則與中壓設備 (29 絕對大氣壓及 400°C) 比較可使設備的經濟性提高 12 — 15% 。蘇聯現在的动力正在廣泛運用這些參數的基礎上發展着，不但如此，還可以預料到蒸汽初壓還將繼續增大，並因此而提高蒸汽的初溫。

在設備中降低終壓也使蒸汽循環的經濟性大大提高。從熱力學中大家都知道，隨著終壓的降低、乏汽溫度也相應降低、因此傳給冷源的熱量減小，這樣就使循環經濟性在其他條件不變的情況下相應增加。

研究圖 1-1 所示循環熱效率 η_t 與 P_2 之間的關係，可以看出降低汽輪機的背壓力 P_2 是如何地有利。很明顯，在選定的蒸汽初參數 35 絕對大氣壓及 435°C 之下，終壓從 1 絕對大氣壓降低到 0.1 絶對大氣壓使熱效率從 27.7% 升高到 35.5% 。背壓力繼續降低時， η_t 還將增長得更猛烈些。由此可見，這一提高蒸汽動力循環經濟性的方法是非常有效的。

降低終壓至大氣壓力以下，實際上乃是使乏汽在高度真空下凝結來達到的。為了這個目的，極大多數的汽輪裝置都具有凝汽設備。

在使蒸汽全部凝結或部分凝結（抽汽式汽輪機）的近代汽輪設備中，終壓一般很低。其

設計值多半為 0.05 — 0.04 絶對大氣壓。而且汽輪機的凝汽設備容許能夠獲得更加低的終壓。

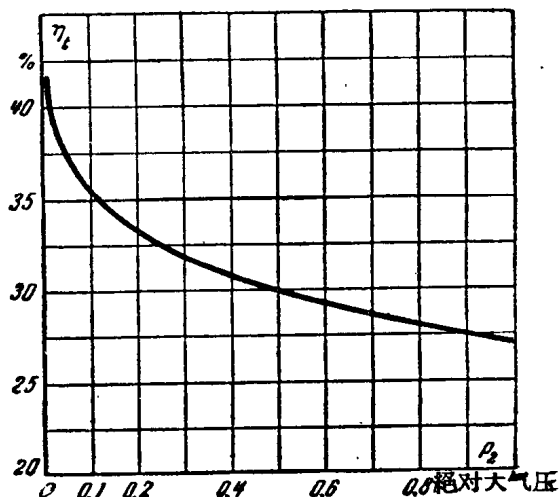


圖 1-1 热效率 η_t 与背压力 P_2 的关系

初参数： $p_0 = 35$ 絶對大氣壓, $t_0 = 435^{\circ}\text{C}$

但是在設備中真正實行可能更低的終壓並非都是合適的，因為在汽輪機乏汽口中保持真空是需要化費能量來帶動凝汽裝置的附屬設備的。因此，汽輪機背壓力降低時，雖然焓降增大，汽輪機的功率也相應增加，但凝汽設備所消耗的功率也同時增大。從某一個時候起，汽輪機因真空度增大而增加的功率比凝汽裝置附屬設備運行所增加的能量消耗還要小些，因而繼續降低終壓就會得不償失。

乏汽的體積隨 P_2 的降低而急劇增大，汽輪機排汽部分的尺寸就因此而需要顯著增大，主要是汽輪機最末一級的尺寸需要增大，這也就影響到終壓的選擇。

例如，如採取蒸汽的初參數 $p_0 = 90$ 絶對大氣壓以及 $t_0 = 500^{\circ}\text{C}$ ，而汽輪機的內效率 $\eta_{oi} = 0.84$ ，則在不同的 P_2 時將有：

最終壓力	$p_2 = 0.05$	0.04	0.03	絕對大氣壓
最終比容	$v_2 = 25.1$	30.8	40.0	公尺 ³ /公斤
比容之比	$\begin{cases} v_2/v_{2,0.05} = 1.0 \\ v_2/v_{2,0.04} = 0.815 \end{cases}$	1.23	1.59	

这就是說，在所有其他条件相同时，取 $p_2 = 0.04$ 絶對大氣壓以代替 0.05 絶對大氣壓為設計數值，就需要增大最末一級的通道截面 23%，而以 $p_2 = 0.03$ 絶對大氣壓以代替 0.04 絶對大氣壓則需增大 30%。

這一情況使汽輪機的構造趨于複雜，因而增高汽輪機的造價。在設計大型凝汽式汽輪機時還發生特殊的困難。因為在這種汽輪機中蒸氣的體積流量成為如此之大，以致降低設計背壓會受到最末一級葉片的通汽能力的限制，而這一級的葉片根據強度條件已不能做得比一定的尺寸再大。使最末一級葉片出口處蒸氣速度增加固然可以增大蒸氣流量，但同時也會引起汽輪機中排汽損失的增大，從而因採用較低終壓而得來的好處也就減小。因此在這種情形中我們在最末幾級採取各種蒸氣分流的方法。

必須指出，蘇聯工廠在設計最末幾級最大的葉片中已經有了能夠超過國外廠商技術的巨大成就。在列寧格勒斯大林金屬工廠的構造中，最末幾級葉片的尺寸是現有汽輪中最大的。這些成就大大地擴大了在大型凝汽式汽輪機中利用高度真空的可能性。

目下在蘇聯的汽輪機製造業的實踐中，在很多情況下採用更低的乏汽設計壓力——0.035—0.03 絶對大氣壓。採用高度真空還能够更加提高汽輪設備的經濟性。採用較高真空時，在汽耗量上所節省的數量多寡很容易從研究下面的數字中看出：

初參數	$p_0 = 90$ 絶對大氣壓及 $t_0 = 500^\circ\text{C}$
終壓力	$p_2 = 0.05$ 0.04 0.03 絶對大氣壓
理想焓降	$H_0 = 323$ 329 336 千卡/公斤
節省汽耗	$\vartheta_n = -1.82$ ±0 +2.12%

由這些數字的比較中可以見到，如果不考慮消耗在凝汽裝置附屬設備上的能量隨 p_2 設計值降低而引起的改變，那麼對於高壓汽輪機來說，背壓從 0.04 改變為 0.03 絶對大氣壓，可使

汽耗量大概減小 2%（要稍許小一點，因為在回熱循環下凝結的要蒸汽流減小到只達總蒸汽量的 80—70%）。

對於中壓汽輪機來說， p_2 降低時焓降的相對增加比高壓汽輪機大，因而汽耗的節省約等於 2.5%。

考慮到消耗在凝汽裝置附屬設備上的能量之可能增加，可以平均地認為：隨著 p_2 設計值之從 0.04 降低到 0.03 絶對大氣壓，汽耗量的節省是 1.5—2%。

對於擔負基本負荷的大型汽輪機，汽耗量減小 1.5—2%，可以節省相當多的燃料；對於功率為 50 000 霹的設備來說，每小時約可節省 300—400 公斤的標準燃料。這一燃料的節省在國民經濟中具有重大的意義。因此當 p_2 的設計值降低到 0.035—0.03 絶對大氣壓且不致引起在凝汽裝置能量消耗的顯著增大時，使所有設備的結構複雜一些，價錢貴一些，也就是擴充汽輪機的低壓部分以便利用高度真空常常是比較合理的方案。

在汽輪設備中應用高度真空是蘇聯動力經濟部門中目前技術政策的主要方向之一。

因此合理設計和正確運行凝汽裝置問題一直是蘇聯動力工作者急待解決的問題，它在目前對於動力工業的進一步發展具有更加重要的意義。

1-2. 凝汽裝置的任務及其主要部件

從熱力學方面來看，汽輪裝置中的凝汽裝置執行了冷源的功用，降低冷源的溫度就提高循環的熱效率。要實現這一作用就要凝結乏汽，此時所形成的凝結水可以保存住，而後即用來作為蒸汽鍋爐的給水。因此，汽輪裝置中凝汽裝置的任務包括：

- a) 在汽輪機乏汽口中建立並保持高度真空；
 - b) 賦得供蒸汽鍋爐給水用的純淨凝結水。
- 凝汽裝置包括下列部件：凝汽器，循環水泵，凝結水泵及空氣泵。這些部件以及帶動各

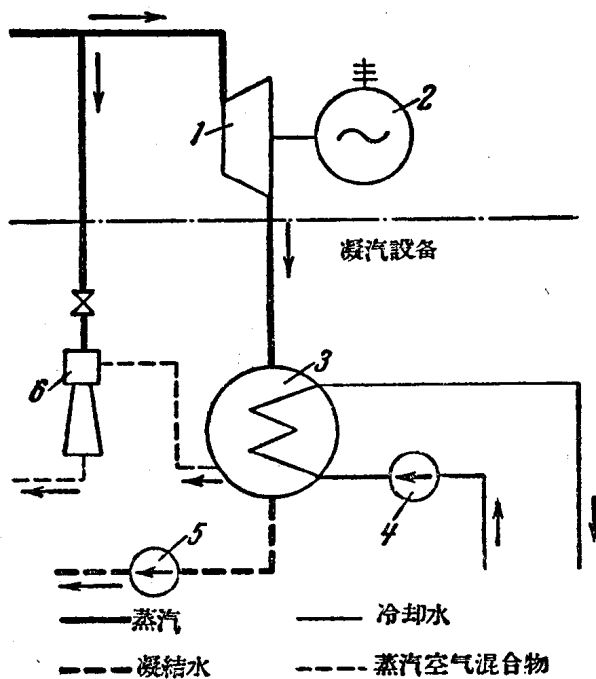


圖 1-2 最簡單凝汽設備的原則性示意圖

1—汽輪機；2—發電機；3—凝汽器；4—循環水泵；5—凝結水泵；6—射汽抽氣器(空氣泵)。

泵所需的动力机械、所需的管道及管子附件組成了凝汽設備。

圖 1-2 所示是最簡單凝汽設備的原則性示意圖。

來自汽輪機 1 的乏汽通向凝汽器 3，汽輪機 1 與發電機 2 相連，凝汽器 3 是一個熱交換器具，通常為表面式，乏汽即在凝汽器中凝結。為了帶走蒸汽凝結時所放出的熱量，用循環水泵 4 使冷卻水不斷地流過形成冷卻面的凝汽器管子。水從離電廠不遠的自然供水水源（河、湖或海）中進入。如果在電廠所在地區缺乏天然供水水源，那麼水從人工供水水源（冷水塔，冷水池或噴水池）中進入凝汽器。在凝汽中受熱後的循環（冷卻）水在冷水塔、冷水池或噴水池中冷卻，此後這些循環水從新用來使蒸汽凝結。在第一種供水系統中稱為直流供水。利用人工水源時供水系統有迴流供水之稱。也有同時採用直流供水和迴流供水的綜合供水系統。

蒸汽凝結後所形成的凝結水，由凝結水泵 5 從凝汽器中抽出並打入蒸氣鍋爐的給水箱

中。

為了保持凝汽器中所建立的真空，必須從凝汽器的蒸汽側不斷地排除不能凝結的氣體——空氣，空氣之進入凝汽器中主要是由於處於真空狀態下的系統不夠嚴密。排除不能凝結的氣體的任務由空氣泵 6 来承担，通常以射汽（蒸汽）抽氣器或射水（水力）抽氣器作為空氣泵。在起動凝汽設備使投入運行時，為了在凝汽器中造成最初的真空，採用了特殊的起動抽氣器以幫助經常作用的主要抽氣器，以便在凝汽器的蒸汽空間以及汽輪機機殼內迅速地排除空氣；大家知道，當汽輪機空轉時真空一直延伸到第一級的汽室。

除射汽抽氣器之外，所有這些設備都放在裝着汽輪發電機的機器樓下的凝汽間——地下室中。在近代設備中，為了便於運行，通常將射汽抽氣器置於汽輪發電機的近旁。在採用小功率汽輪機的單層裝置中，凝汽設備的組成即位於機器分場內，此時並無凝汽地下室。

近代汽輪設備具有較圖 1-2 所示要複雜得多的熱力系統，這主要是由加熱給水的回熱系統所造成的。回熱系統的工作與凝汽設備的工作有緊密的聯繫。冷油器和發電機的空氣冷卻器亦都與凝汽設備的循環水系統相聯繫，前兩者也都位於凝汽間中。可見，不論是整個汽輪設備工作的經濟性及工作的可靠性都與凝汽設備的工作有關。因此在汽輪設備的運行中，應對凝汽設備的工作付予很大的注意。

圖 1-3 所示是正常凝汽設備組的佈置實例。

1-3. 凝汽器中真空的形成以 及絕對壓力的數值

凝汽器中真空的形成與下述情形有關：如大家所知道的，密閉在某一定容積中的蒸汽與液體之間的平衡壓力，須視蒸汽與液體在該容積中所共處的溫度而定；此時兩者的关系是單值的，也就是說每一蒸汽在其飽和狀態下的溫度與一完全一定的平衡壓力相對應。因此，如

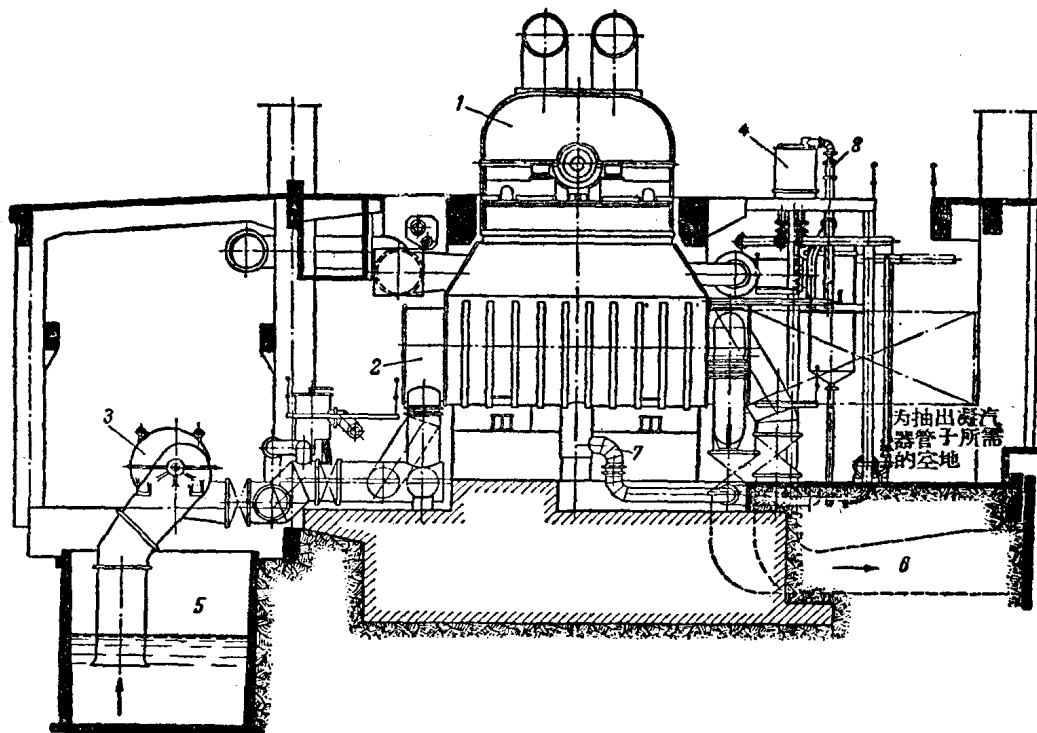


圖 1-3 凝汽設備總圖

1—汽輪机；2—凝汽器；3—循环水泵；4—抽气器；5—吸水井；6—冷却水排水溝；
7—至凝結水泵的凝結水管；8—空气管。

果在这个沒有其他气体存在的容积中發生了蒸汽的等压凝結过程（也就是流进凝汽器被凝結蒸汽的流量不变，凝結的热量不断的被帶走，及此时所形成的凝結水也不断被帶走等条件下的稳定凝結过程），則在容积中將确立与温度相对应的压力，此温度就是容积中的蒸汽随冷却条件而改变的温度。蒸汽最低的极限温度是冷却介质的温度，凝結过程即靠这一介质将热量帶走。若以普通水放在凝汽器中作为冷却介质来冷却。那么，在冷却介质的温度之下，平衡压力是一很小的数值。举例來說，如果蒸汽在容积中凝結时的温度等于 20°C ，則其中的压力由饱和蒸汽表可以求得为 0.0238 絶对大气压。因此，在凝結純淨的蒸汽时只要使凝結過程的温度降低到 20°C 就可以达到高度的真空。

但是在真实的凝汽器中，蒸汽的等压凝結过程是在有不凝結气体(主要是空气)存在的情形下發生的，因此如果对这种空气不采取特別

措施来从凝汽器中將它排除，则尽管对应于蒸汽(在通常冷却条件下)饱和温度的压力可以比大气压力低得很多，但在蒸汽凝結过程中、由蒸汽和空气分压力所構成的凝汽器中的总压力畢竟仍然会等于大气压力的。因为这个緣故，为了确定蒸汽的等压凝結过程，并在高度真空的水平上保持这一过程(这一高度 真空 是根据蒸汽在真实凝汽器中的冷却情况而达到的)，則除了必需經常帶走热量和所形成的凝結水之外，像前面已曾指出，还必需不断帶走漏入凝汽器中的空气。因为漏入凝汽器中的空气量与流入凝汽器中的乏汽相比是很小的，所以在不斷排除空气的条件下凝汽器中的压力实际上等于和凝結温度相当的饱和压力。

現在我們來研究在凝汽器各种不同的运行条件下，凝汽器所能达到的压力究竟是多少。

从凝汽器中形成真空的过程中得出的結論是：凝汽器中压力的最小数值决定于冷却水的

溫度。在以冷卻水數量的無限多為特徵的理想凝汽器中，冷卻水的溫度各處相同並等於進口處的數值。那麼在理想的傳熱情形下（當蒸汽與水之間的溫差成為等於零的極限時）以及沒有空氣存在時，根據飽和蒸汽表可以決定凝汽器中與這一冷卻水溫度相對應的“理想”壓力。冷卻水的流量不是無限時，它從凝汽器流出時的溫度將高於其進入時的溫度，因為冷卻水與被凝結蒸汽進行熱交換的過程中，前者即被加熱。在這種情形下，凝汽器中的壓力就與冷卻水的流量有關。

從凝汽器的熱平衡中可以決定冷卻水在出口處的溫度。與周圍介質的熱交換由於其不重要而忽略不計時，凝汽器的熱平衡方程式可以寫作：

$$D_k(i_2 - i_k) = W(i_2^{so\partial} - i_1^{so\partial}), \quad (1-1)$$

式中 $i_1^{so\partial}$ 及 $i_2^{so\partial}$ ——冷卻水在凝汽器進口處和出口處的焓，大卡/公斤；
 i_2 ——乏汽的焓，大卡/公斤；
 i_k ——從凝汽器中流出來的凝結水的焓，大卡/公斤；
 D_k ——進入凝汽器中的蒸氣量，公斤/小時或噸/小時；
 W ——冷卻水量，公斤/小時或噸/小時。

在低溫範圍中，冷卻水及凝結水的焓 $i_2^{so\partial}$ ， $i_1^{so\partial}$ 及 i_k 在數量上等於其相當的溫度 $t_1^{so\partial}$ ， $t_2^{so\partial}$ 及 t_k 。因此方程式(1-1)可以改寫作：

$$D_k(i_2 - t_k) = W \cdot (t_2^{so\partial} - t_1^{so\partial}). \quad (1-1a)$$

由此，凝汽器中冷卻水的溫升 $\Delta t = t_2^{so\partial} - t_1^{so\partial}$ 將為

$$\Delta t = \frac{i_2 - i_k}{W} = \frac{i_2 - t_k}{m}. \quad (1-2)$$

由比值 $\frac{W}{D_k} = m$ 公斤/公斤或噸/噸所決定的，在凝結1公斤蒸汽上所費的冷卻水量通常稱為冷卻倍率。在現代凝汽設備中冷卻倍率的數值在50—120的範圍之內。 m 的適宜數值可

用技術經濟的計算來求得（參閱§ 9-2）。

表示凝結1公斤蒸汽時所放出的熱量的焓差 $i_2 - t_k$ ，對於工作在高度真空下的凝汽器來說，其變動範圍很小，約為510—530大卡/公斤。因此冷卻水的溫升主要視冷卻倍率而定。

可以平均地採取 $i_2 - t_k = 520$ 大卡/公斤；此時其與最大或最小值之間的偏差將小於2%。於是在許多不需要高度準確計算的情形中，公式(1-2)可以用下面的形式表示：

$$\Delta t = -\frac{520}{m} \quad (1-2a)$$

而冷卻水在出口處的溫度求之如下：

$$t_2^{so\partial} = t_1^{so\partial} + \frac{520}{m}. \quad (1-3)$$

根據 $t_2^{so\partial}$ 就不難確定凝汽器中理論上能够達到的壓力之值。這一數值與冷卻水在進口處的溫度以及用數量 m 表示的，每凝結1公斤蒸汽所應有的冷卻水量有關，這一關係如圖1-4所示。圖中曲線是在被凝結蒸汽的溫度與凝結水離開凝汽器時的溫度相等這一假定之下

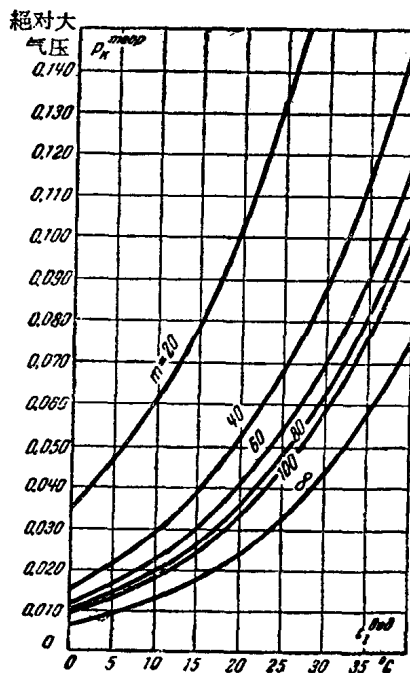


圖 1-4 凝汽器中理論上能夠達到的壓力 p_k^{meop} 與冷卻水溫度 $t_1^{so\partial}$ 及冷卻倍率 m 之間的關係

繪成的。

从这些曲線得到的結論是：冷却水的温度愈低，冷却倍率愈大，則在凝汽中能够达到的真空愈高。就平均数值 $t_1^{\text{cond}} = 10^\circ\text{C}$ 及 $m = 60$ 来說，凝汽器中理論上能够达到的压力是 0.0221 絶对大气压。

在实际情形中，被凝結蒸汽与冷却水之間的換热永远有一些溫度差 δt 。因此，在真实的凝汽器中蒸汽的溫度 t_n 較冷却水出凝汽器时的溫度 t_2^{cond} 要高出 δt 那么多，这也就是說

$$t_n = t_2^{\text{cond}} + \delta t. \quad (1-4)$$

在表面式凝汽器中傳热溫差 δt 的設計数值在 $3-10^\circ\text{C}$ 的范围内。傳热溫差与凝汽器的冷却面积有关； δt 随冷却面的增大而減小。为了作比較性的計算通常取 $\delta t = 5^\circ\text{C}$ 。由此得

$$t_n = t_2^{\text{cond}} + 5 = t_1^{\text{cond}} + \frac{520}{m} + 5^\circ\text{C}. \quad (1-5)$$

在凝汽器中对于不同的 t_1^{cond} 及 m ，由公式 (1-5) 求得与 t_n 相当的压力如表 1-1 所示：

表 1-1

冷却水进口 处的溫度， °C	凝汽器中的压力，絕對大气压			
	冷 却 倍 率			
	50	60	80	100
0	0.0178	0.0160	0.0138	0.0126
5	0.0245	0.0221	0.0191	0.0176
10	0.0331	0.0300	0.0261	0.0241
15	0.0442	0.0402	0.0353	0.0327
20	0.0586	0.0533	0.0472	0.0438
25	0.0770	0.0702	0.0624	0.0579
30	0.0998	0.0915	0.0815	0.0761
35	0.1282	0.1178	0.1055	0.0937
40	0.1639	0.1515	0.1362	0.1270

1-4. 凝汽器中的压力对于汽輪机所發出功率的影响

用計算的方法，或者更好的是用實驗的方法，可以对每一机组确立功率的改变 ΔN^* 与背压 p_2 之间的关系。在繪制實驗曲線 $\Delta N^* = f(p_2)$ 时，必須在凝汽器的进汽量不变时进行一

些試驗，此时应在不同的乏汽压力下准确地量度汽輪机所發出的功率。

在大多数情形中，凝汽器紧紧地与汽輪机的乏汽口相連接，并在凝汽器的喉部測量乏汽的压力，也即在凝汽器的受汽管上測量乏汽壓力。因此，在凝汽中被量得的乏汽压力 p_k 与背压 p_2 的計算值不同，后者是最末一級叶片后面的壓力，兩者的差別就在乏汽管的阻力上，乏汽管的阻力約达 4 公厘汞柱，或更高一些，特別在鋸成的乏汽管構造中。

A.C. 齐里別爾曼及 Г.С. 斯摩良罗夫(лмз)确定了[参考讀物 1]：如果按照求 $\Delta N^* = f(p_2)$ 的計算或實驗結果，对于进入凝汽器中一定的蒸汽量 D_k 構成关系式 $\frac{\Delta N_i}{D_k} = \varphi\left(\frac{p_k}{D_k}\right)$ 或 $\frac{\Delta N_g}{D_k} = \psi\left(\frac{p_k}{D_k}\right)$ ，(此处 ΔN_i ——汽輪机輪內功率的改变，而 ΔN_g ——汽輪發电机电功率的改变)，則这一关系將普遍适用于凝汽器的任何进汽量。圖 1-5 給出了由計算方法得来的这种关系的例子。

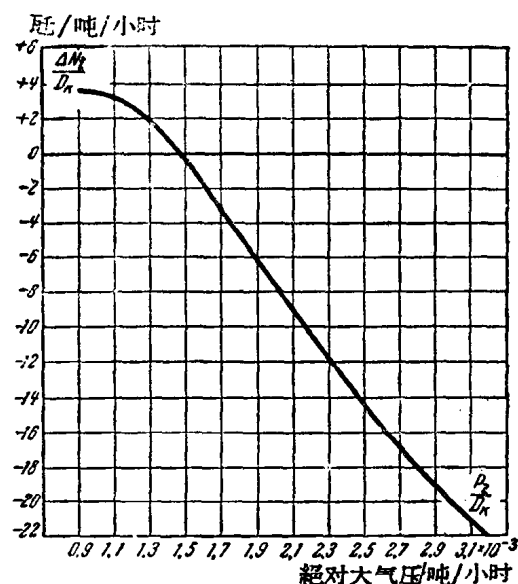


圖 1-5 凝汽器中压力影响于汽輪机功率改变的通用曲線

所介紹的曲線表示出：随着 p_2 的減小 功率改变 ΔN^* 的增量在背压变化的很大范围内

几乎保持不变。但是从某时候起，汽輪机后面对的压力降低时， ΔN_i 的增量缩小而至于到零。对于凝汽器中这一压力，亦即随着这一压力的降低汽輪机功率改变的增量开始为零时的压力，称为凝汽中的極限压力，或者，像大家常常說的極限真空。

在圖 1-5 所示的例子中，凝汽器中的極限压力相当于 $\frac{p_2}{D_k} = 0.9 \times 10^{-3}$ 絶對大气压/吨/小时。

于是在本例中在和正常工况相适应的进汽量 $D_k = 34$ 吨/小时时，極限压力 p_2 是 ~ 0.0306 絶對大气压。这并不是汽輪机后面物理上可能达到的最低压力，而是在这一压力下，已不再可能有效地利用汽輪机中因 p_2 降低而增大的焓降。这一压力相当于充分利用了汽輪机最末一級叶片出口斜切部分的膨胀能力。在达到这一極限压力之后，当 p_2 繼續降低时，蒸汽的膨胀已發生在最末一級工作叶輪的后面，因此不能再使有效功增大。

既然圖 1-5 中所示的关系对于一定的汽輪机是普遍适用的，则亦不难确定：不同的極限压力与凝汽器中不同的进汽量相对应，極限压力随进汽量的減小而降低。这一情形可用圖 1-6 所示的、汽輪机功率改变与凝汽器中压力改变的关系曲綫来很好地表明，这些关系曲綫則是根据 ЛМЗ 牌 AT-25-1 型及 АП-25-1 型汽輪机的通用實驗曲綫繪成的。在圖 1-6 中縱坐标向上表示功率增量的負值，因此曲綫的斜率对圖 1-5 所示通用曲綫的斜率來說是按另一方向改变的。这些曲綫按其過程的性質來說乃是圖 1-5 所示普遍关系在鏡子中的映像。

圖 1-6 所示的曲綫是汽輪机组典型动力曲綫的一个示例，典型动力曲綫是苏联电站部規定作为其所屬电厂必須执行的标准資料，規定的目的在于使估計各別因素对于电站同一类設備工作經濟性的影响上得到統一。依靠已知的典型特性曲綫，就可以求得当凝汽器中乏汽絕對压力改变时功率的修正值，从而也就可以求得汽耗量及热耗量的修正值。从圖 1-6 的曲綫

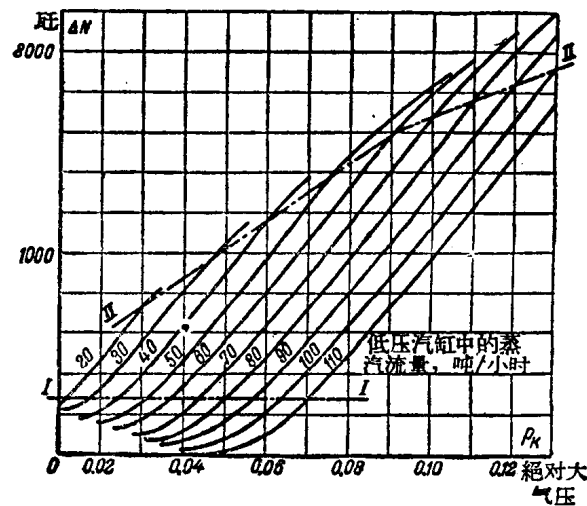


圖 1-6 汽輪机功率改变与凝汽器中压力改变的关系—ЛМЗ 牌 AT-25-1 及 АП-25-1 型汽輪机的典型动力特性曲綫

中看得出来：在極限曲綫 I-I 及 II-II 的范围内，当 p_k 改变 ± 0.01 大气压时，ЛМЗ 牌 AT-25-1 及 АП-25-1 型汽輪机功率的平均修正值是 ∓ 250 瓦。

工作于初参数为 29 絶對大气压 400 °C 的其他类型汽輪机的通用特性曲綫表示，当凝汽器中的压力与相当的正常数值偏差不大时，其斜率几乎与圖 1-6 所示者相同。因此，在同一功率的一些汽輪机中，当进入凝汽器中蒸汽量不同时，凝汽器中压力的一定的不大量數的改变会导致汽輪机功率大致相同的改变。例如，从曲綫中得到的对于 ЛМЗ 牌 AT-25-1 及 АП-25-1 型汽輪机的功率修正值也适用于 AK-25-1 及 AK-25-2 型汽輪机。对于 ЛМЗ 牌 AK-50-1 型汽輪机， p_k 改变 ± 0.1 大气压將使汽輪机功率改变 ∓ 450 瓦。与此相同的 p_k 的改变，对于 ХТГЗ(哈尔柯夫的基洛夫汽輪發电机厂)牌AK-50 型汽輪机將使功率改变 ∓ 550 瓦。

就大多数中压汽輪机來說，可以認為：与凝汽器中压力改变 ± 0.01 大气压相对应的功率改变約為汽輪机在凝汽工况下正常功率的 $\mp 1\%$ 。

不論对于设备的设计或者运行，通用特性曲綫在确定凝汽器最佳压力的計算中获得了广

泛的应用。下文將介紹这种計算的方法。

1-5. 凝汽器中真空的測量

凝汽器中的真空用最簡單式样的真空表來測量，这种真空表可以是通常的U形玻璃管，其中半充以水銀。如果这种U形管的一个口与凝汽器中保持着真空的蒸汽側相連接，此时令管子的另一口开着，則管子中的水銀將發生移動，根据水銀面的高度差就可以判断真空的數值。更方便的是由簡單玻璃管構成的真空表，这种玻璃管的一头插入水銀杯中，另一头則与凝汽器相連接。在这种情况下，玻璃管中水銀面的高度 H 就決定了真空的大小， H 之值可从玻璃管旁边的标尺上讀出。

这种真空表及其附件的簡圖如圖1-7所示。

如果根据水銀氣压表指示的大氣压力 B 公厘汞柱是已知的，則凝汽器中的絕對压力將求得为：

$$p_x = B - H \text{ 公厘汞柱。} \quad (1-6)$$

考慮到 0°C 时的工程大氣压等于735.6公厘汞柱，凝汽器中的絕對压力可以表之如下：

$$p_x = \frac{B_0 - H_0}{735.6} \text{ 絶對大气压,} \quad (1-7)$$

式中 H_0 ——測量出的真空 H 換算到 0°C 时的數值，公厘汞柱；

B_0 ——測量出的压力 B 換算到 0°C 时的數值，公厘汞柱。

真空表讀數換算到 0°C 时可按下列公式進行之：

$$H_0 = H - (\alpha - \beta) \cdot H \cdot t \text{ 公厘汞柱,} \quad (1-8)$$

式中 α ——水銀的膨脹系数，等于0.000182；

β ——标尺的綫膨脹系数，对于黃銅來說等于0.000019，对于銦來說等于0.000011；

t ——水銀和标尺的溫度，取其等于真空表裝設处空气的溫度。

在試驗凝汽設備以决定凝汽器中真空的真実數值时，也考慮到被量度的數值 H 由于毛細管作用而生的某些估算过小。毛細管作用的

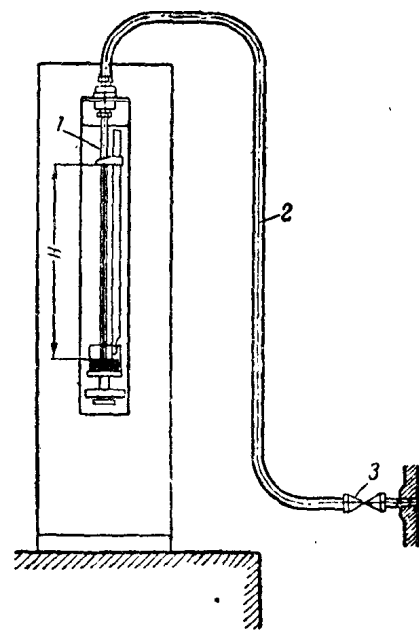


圖 1-7 真空表裝置簡圖
1—真空表；2—連接管；3—考克。

修正值与管子的直徑及凸面的高度有关；水銀在管子中的凸出表面称为凸面。这一修正值同时增加到真空表和气压表的讀数上。此外，應該考慮到，当按公式(1-7)以求 p_x 时，是假定真空表与气压表位于同一水平标高的，当仪表裝在不同水平标高的相反情形中，例如气压表置于机器間而真空表在凝汽間，則必須考慮到大氣压力隨着高度的改变。这些情況的計算可以參閱[參考讀物 2]。

为了根据真空表讀數正确地表示凝汽器中真空的數值，仪表的接連地点也很重要。通常真空表是連接到汽輪机排汽管或凝汽器进汽管上任意选定的地方的。

但是在試驗凝汽器时發覺到：裝在排汽管上不同地点的真空表，其讀數常常不同，这可以用汽流速度头不同的影响来解釋，因为汽流速度沿排汽管截面的分佈是不均匀的。由于這一緣故，必須將真空表接到凝汽器上这样一种地点，在那兒速度头对于測量蒸汽靜壓力的影响即使不能全部消除則也是在相当大的程度上消除了的。其中根据Г. А. 穆林的特別觀察[参考讀物 3]，大气管(自動排大气閥以前)可以

作为用真空表测量真空的可靠地点，在许多设备中，大气管接在凝汽器的上部以便出事故时可将蒸汽排至大气。此时应该注意到：大气阀门必须是严密的，而大气管则应该与进入凝汽器的汽流方向垂直。

在试验汽轮机时为了求得 p_k 的平均数值，通常装置有好几个真空表，分别接在排气管上同一水平面的不同地点。

凝汽器中的真空实际上常常用大气压力的百分数来计算，也就是：

$$V = \frac{H_0}{B_0} \cdot 100\% \quad (1-9)$$

于是凝汽器中的绝对压力

$$p_k = B_0 \left(1 - \frac{V}{100} \right) \text{公厘汞柱} \quad (1-10)$$

或 $p_k = \frac{B_0}{735.6} \left(1 - \frac{V}{100} \right) \text{绝对大气压}.$

V 的数值在某种程度上表示了凝汽装置的工作效果。这可以在下面所述的事实中看出来：当大气压力不同而其他条件保持不变时，要在凝汽器中产生相同的压力就要求凝汽装置的附属设备（主要是空气泵）做不同的功。随着大气压力的升高，空气泵就不得不作较多的功来压缩从凝汽器中抽出的空气，这就具体表现在 V 的数值上。正如从公式 (1-10) 中得出： p_k 不变时较大的 V 值与较大的 B_0 之值相应。

同时，为了全面地表明汽轮装置的工作，单有一个数量 V 是不够的。对于汽轮机来说，重要的倒不是真空的百分数而是凝汽器中的绝对压力。只有这个绝对压力才决定了汽轮机后面的终压。在所有设计汽轮装置的计算中，以及在确定汽轮机在运行条件下经济性的计算中、以及其他计算中都包含都要用到汽轮机的终压。这个情况必须始终予以注意。从公式 (1-10) 也可以得出结论：不同的 V 值，视大气压力的值而可以与同一的 p_k 相对应。因此为了根据真空 V 的数值来确定 p_k ，前者始终需要伴有与其有关的 B_0 之值的读数。

就实用目的来说，凝汽装置的工作效果最好是直接用凝汽器中达成的绝对压力来表示。

例题 1-1 如果在和凝汽器相连的真空表中，水银柱的高度 $H = 705$ 公厘，而真空表装设处气压表的汞柱高度折算到 0°C 时为 $B_0 = 747$ 公厘汞柱。试求凝汽器中的绝对压力。已知仪表装设处空气的温度为 20°C 。标尺为钢制。

折算到 0°C 的真空表读数

$$H_0 = 705 - (0.000182 - 0.000011) \times 705 \times 20$$

$$= 705 - 2.41 = 702.59 \text{ 公厘汞柱}.$$

凝汽器中的绝对压力

$$p_k = 747 - 702.59 = 44.41 \text{ 公厘汞柱}.$$

或 $p_k = \frac{44.41}{735.6} = 0.062 \text{ 绝对大气压}$

例题 1-2 如果在 $B_0 = 740$ 公厘汞柱时知道 $V = 96\%$ ，试求凝汽器中的绝对压力。

凝汽器中的绝对压力

$$p_k = 740 \left(1 - \frac{96}{100} \right) = 29.6 \text{ 公厘汞柱},$$

或 $p_k = \frac{29.6}{735.6} = 0.0402 \text{ 绝对大气压}.$

1-6. 凝汽器的类型

现有的凝汽器按照乏汽凝结方式的原则性区别，可以划分为以下两类：

1) 混合式凝汽器；

2) 表面式凝汽器；

在混合式凝汽器中，在蒸汽与冷却水的直接混合下发生了蒸汽的凝结。

在表面式凝汽器中，蒸汽是在冷的表面上实行凝结的，这一冷的表面将乏汽与冷却水，或将乏汽与用来使表面冷却用的空气分隔开来。

混合式凝汽器的种类有：顺流的混合式凝汽器，逆流的混合式凝汽器以及喷射式凝汽器。

属于表面式凝汽器的有：蒸发器式凝汽器，空气凝汽器以及表面凝汽器。

混合式凝汽器

混合式凝汽设备的简图示在图 1-8 中。

冷却水由于循环水泵的压头或凝汽中的真

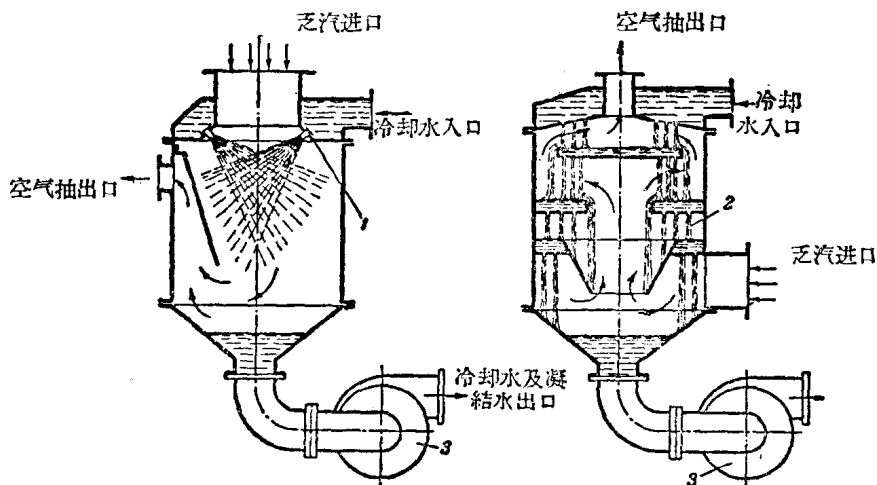


圖 1-8 混合式凝汽器簡圖
1—順流凝汽器；2—逆流凝汽器；3—抽水泵。

空而进入噴管，冷却水即通过这些噴管噴散在凝汽器的汽域中。在有些構造形式中，依靠裝在凝汽器汽域中的一些有孔的橫隔板来达到水的分散作用。冷却水和凝結水的混合物由抽水泵排除之。

空气的排除則由空气泵(抽气器)来执行。在空气从凝汽器下部抽出的情形中，此时如蒸汽通过位于凝汽器上部的进汽管进入凝汽器，则汽流的方向与落下的冷却水流或水滴的运动方向重合。这种凝汽器称为順流的混合式凝汽器。在空气从凝汽器上部抽出的情形中，如冷却水也从凝汽器的上部进入，而进汽管则位于凝汽器的下部；此时冷却水流和水滴在上升的乏汽中落下。这种凝汽器称为逆流的混合式凝汽器。

为了利用凝汽器中的真空来使冷却水吸到散水噴管(这样就可以不用循环水泵)，混合式凝汽器标高在可能的情况下应尽量与水头的标高接近，这种凝汽器就称为低位凝汽器。

凝汽器的位置足够高时，这对于逆流的混合式凝汽器是最方便的，排水管可以在不裝抽

水泵的条件下用作为直接排除冷却水与凝結水混合的水封。在这种情况下，凝汽器就称为高位凝汽器或气压表式凝汽器。

混合式凝汽器出現得很早。混合式凝汽器的原理在首批制造的蒸汽机中已被利用过。在这些蒸汽机中，直接將冷却水注入蒸汽机汽缸中以实现乏汽的凝結。混合式凝汽器的进一步改进既循着蒸汽机發展的道路进行，也循着較晚出現的汽輪机的發展道路进行。許多老式的汽輪设备曾裝置了混合式凝汽器。可以指出：热机發展史上的成就虽然算在汽輪机身上，但这个成就的先决条件在很大程度上是：在高度真空的条件下蒸汽的凝結問題已获得解决，而促进这一問題解决的就是蒸汽机設備中的混合式凝汽器的早期运行經驗。

現在已不再为汽輪设备制造混合式凝汽器了。虽然混合式凝汽器構造簡單而在运行中又很方便，可是它具有一个在近代汽輪设备中不能容許的重大的缺陷，这就是丢失了凝結水。

噴射式凝汽器

噴射式凝汽器裝置示于圖 1-9 中。在這種凝汽器中，冷卻水以一股或數股高速流动的水流进入蒸汽域中。當乏汽与冷卻水流接触时，蒸汽即發生凝結，而空气則被射流帶至位于下部的扩散管。在扩散管中，水及空气混合流的速度降低，其中的压力則因此而升高，这就是說發生了流动动能向勢能的轉變。依靠这一动能的改变，空气在扩散管中被压缩到較大氣压稍高的压力，而后即与冷卻水及凝結水一起排到外面。因此，在这种凝汽器中再沒有具备抽水泵和空气泵的必要。

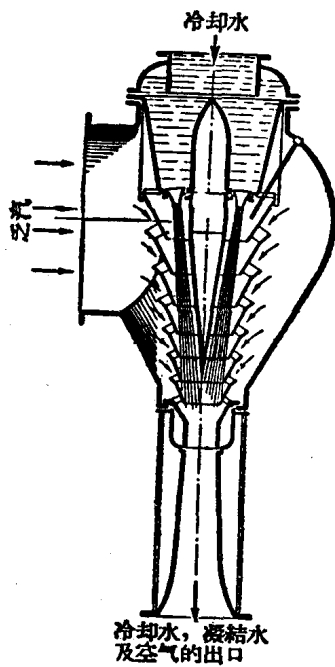


圖 1-9 噴射式凝汽器

噴射式凝汽器較前面几种都要紧凑，但是和混合式凝汽器一样，它的缺点是丢失凝結水，因此噴射式凝汽器在近代汽輪設備中亦不見采用。

蒸發器式凝汽器

蒸發器式凝汽器由許多管子組成，由于淋在管子外面的冷卻水从管子表面的蒸發作用，

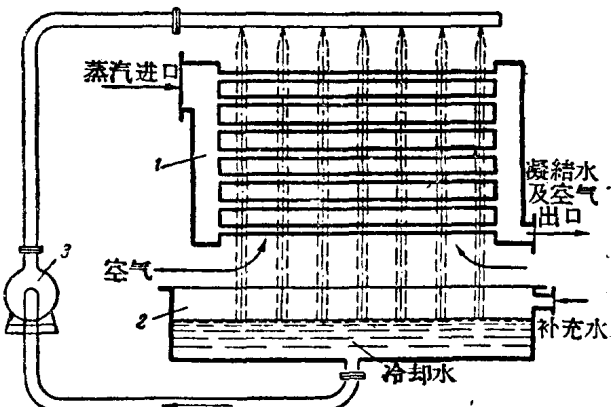


圖 1-10 蒸發器式凝汽器裝置的簡圖

1—凝汽器；2—集水池；3—循環水泵。

以及循环于管子之間空气的受热作用，蒸汽就在这些管子中进行凝結。

蒸發器式凝汽器的簡圖如圖 1-10 所示。

冷卻水从配水管中呈細流落到管子的表面，一部分蒸發了，其余的再流到集水池中，从这里与补充水一起用循环水泵从新向上打到配水管中去。空气循环主要是为了排除凝汽器外表面上形成的蒸汽。空气的不断循环则可用自然的或人工的通風来保持。凝結水和空气視真空度的大小或者一起地或者分別地用泵来从管子中排除。

蒸發器式凝汽器在近代汽輪設備中不見采用。这类凝汽器由于傳熱不佳故尺寸很大，此外又必須放在电厂的厂房外面，这就使得管道很长，压力损失也就相应地增大。在这类凝汽器中，法藍及其他接头的数目很多，这就促使漏气增加。除此之外，这类凝汽器的工作視大气的情况而定，因而要在凝汽器中保持一定的真空度是有困难的。

空气凝汽器

空气凝汽器与蒸發器式凝汽器相类似，只是在空气凝汽器中用空气冷却。

这类凝汽器主要应用在运输設備中，首先是凝汽的机車中。在苏联的实际应用中，这种凝汽器在上一世紀的末叶开始用于蒸汽机車